

Figure 1

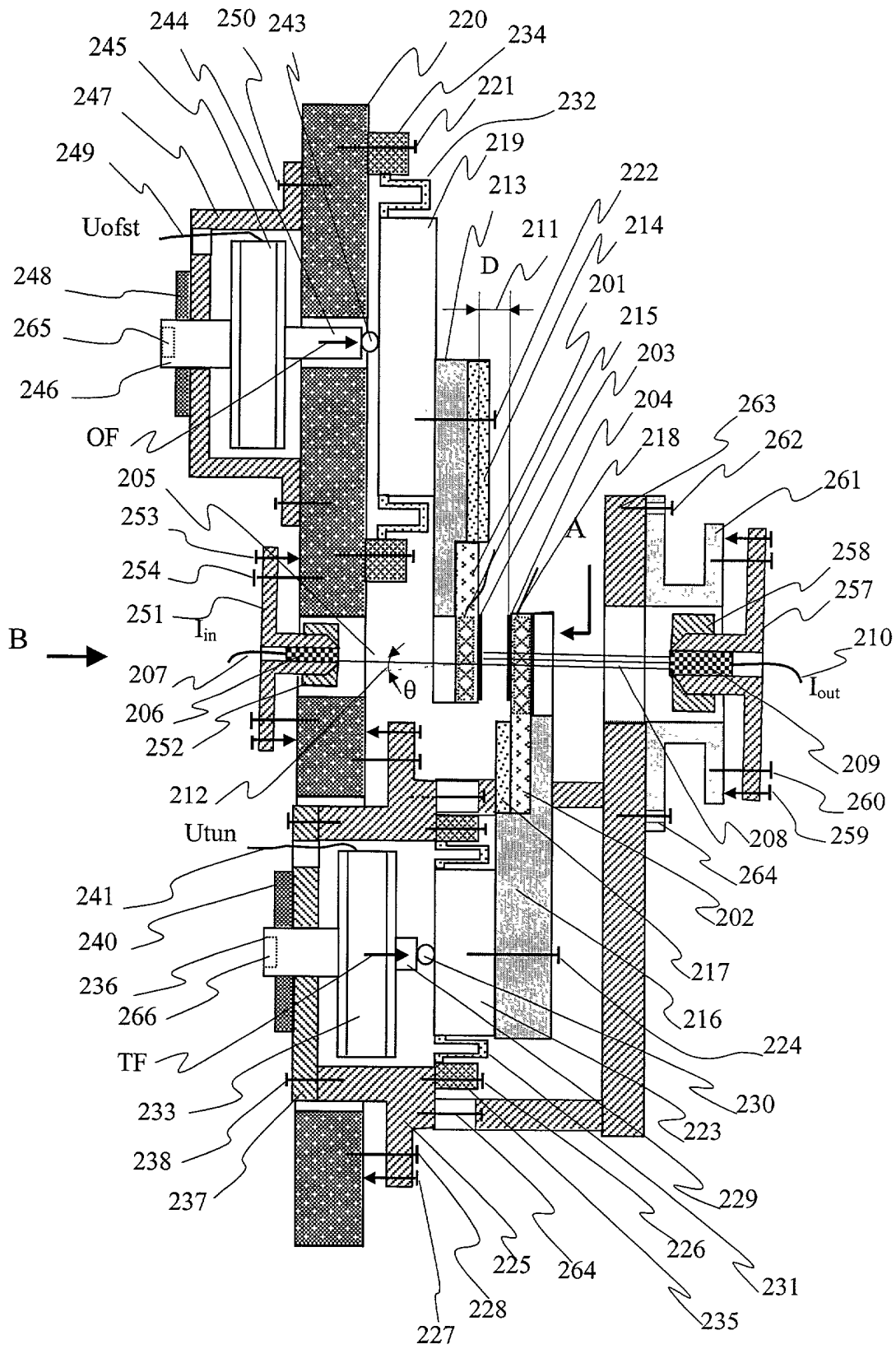
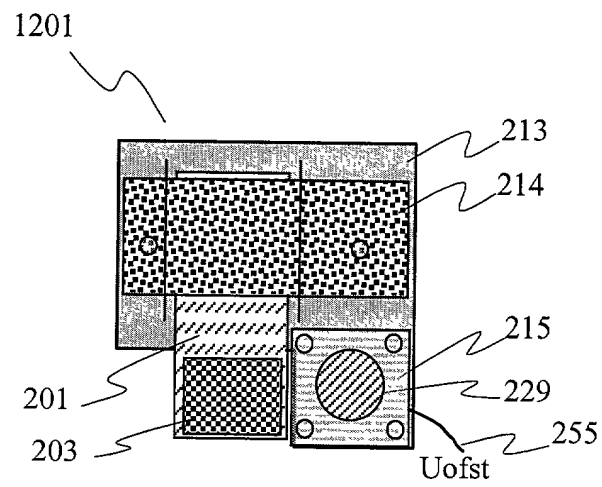
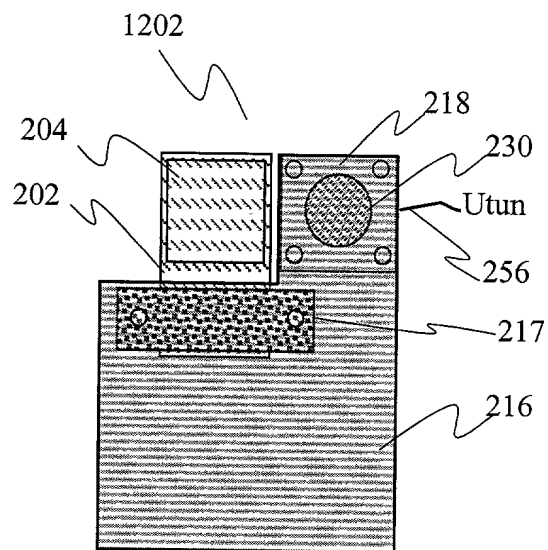


Figure 2



a)



b)

Figure 3

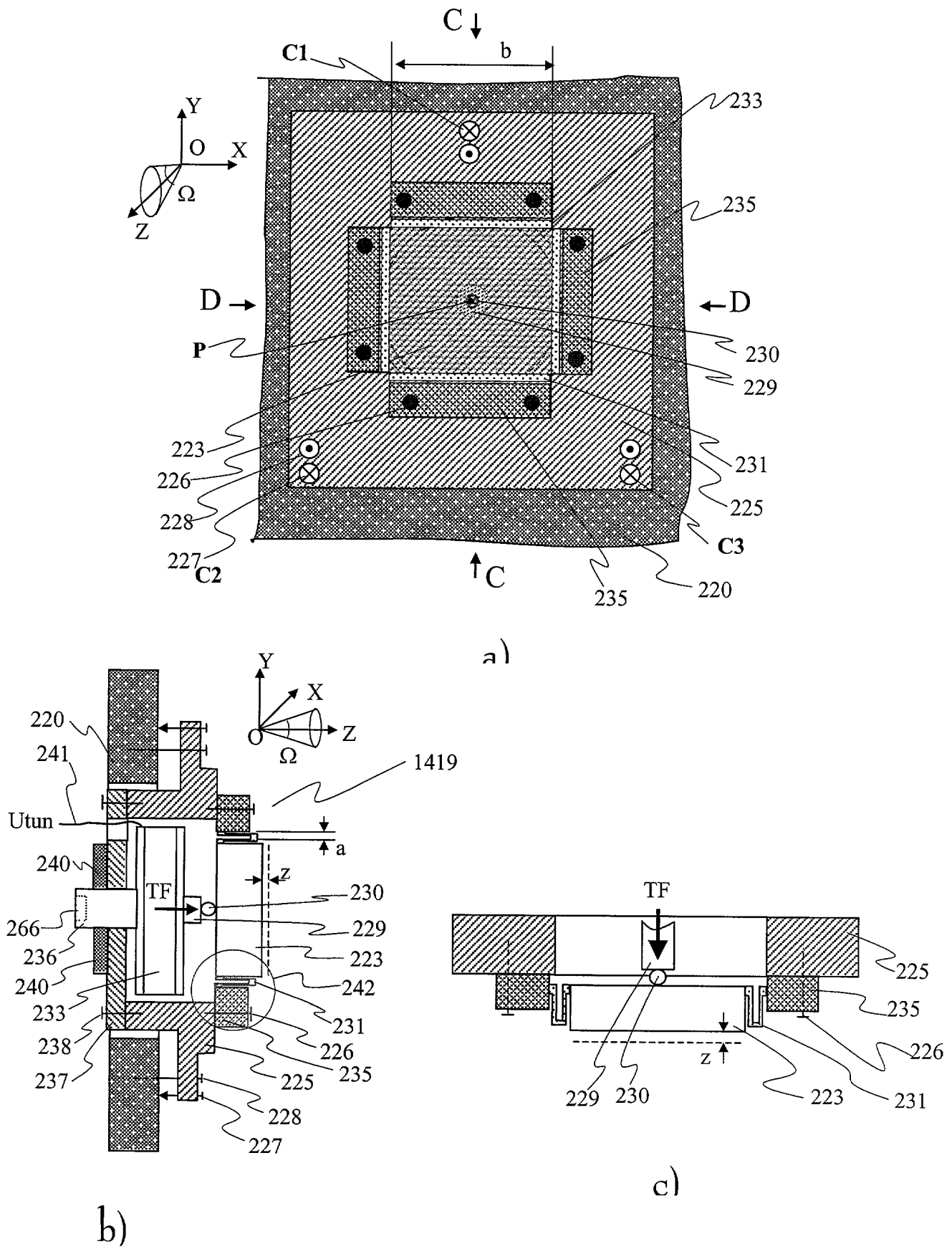


Figure 4

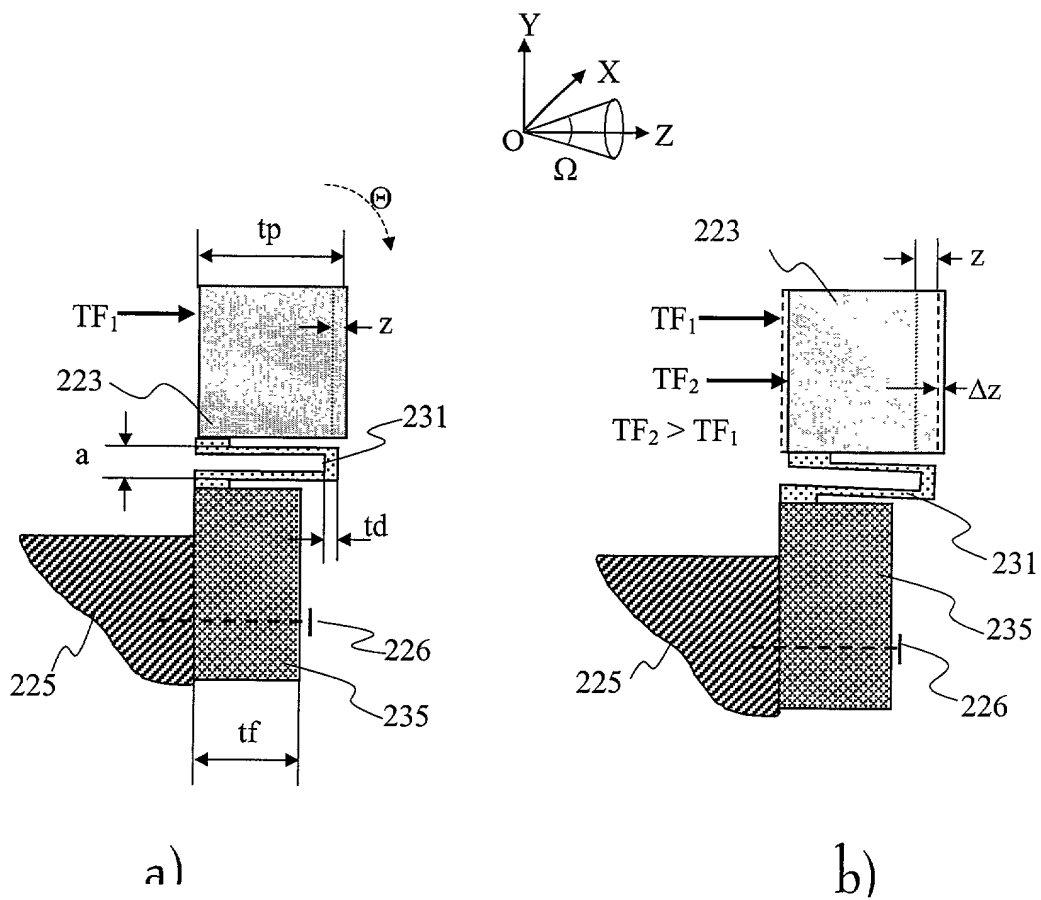


Figure 5

a)

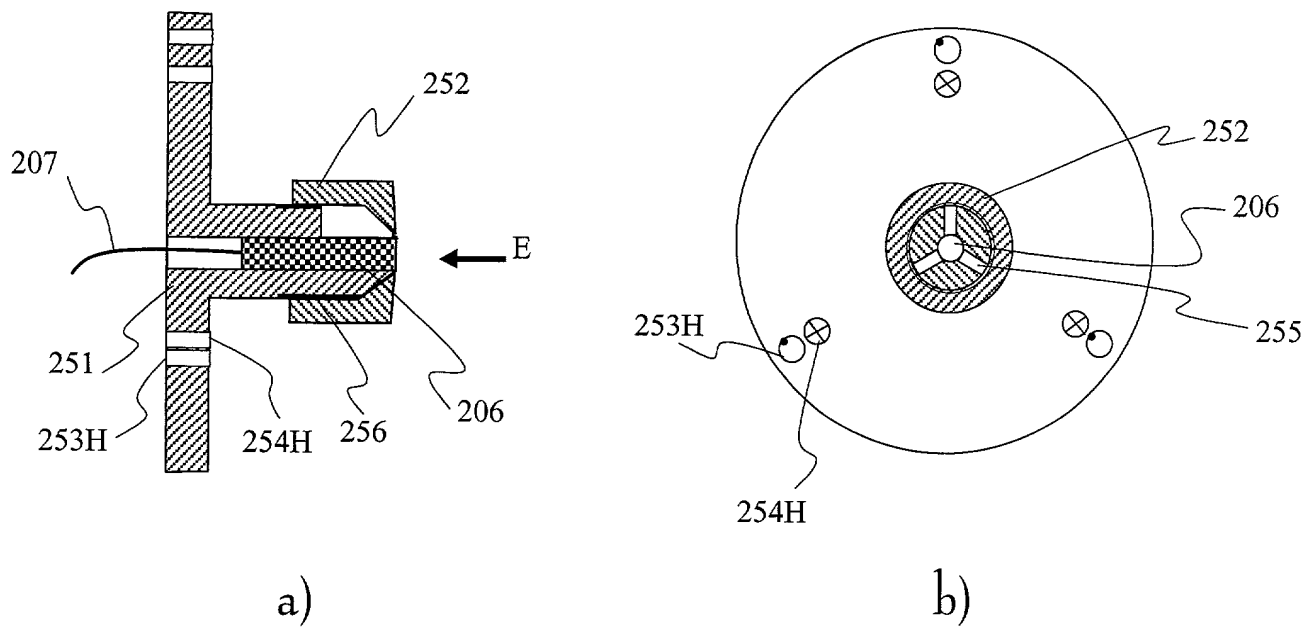
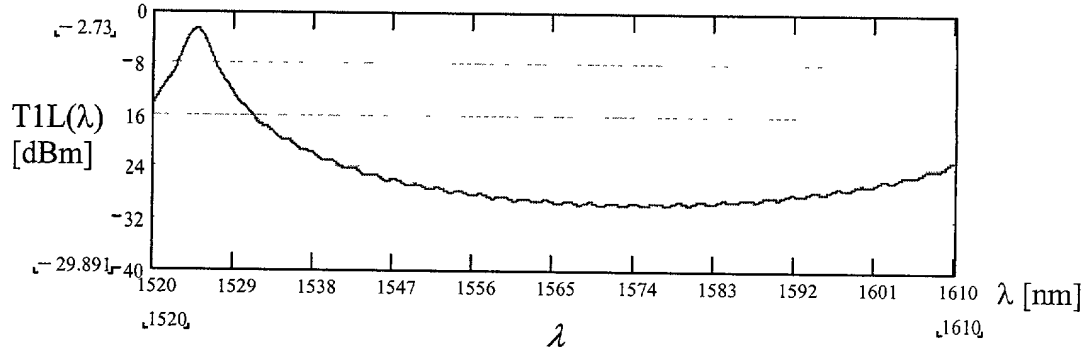
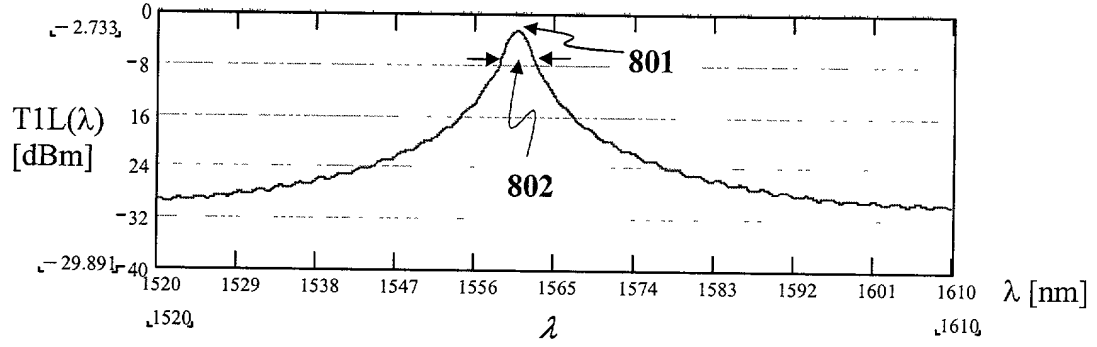


Figure 7

a)  $D5=12.20\mu\text{m}$ ;  $\theta=1.0^\circ$ ;  $p=40$ ;  $r1=0.985$ ;  $a1=0.006$ ;  $r2=0.930$ ;  $a2=0.006$ ;  $p=40$



b)  $D6=12.48\mu\text{m}$ ;  $\theta=1.0^\circ$ ;  $p=40$ ;  $r1=0.985$ ;  $a1=0.006$ ;  $r2=0.930$ ;  $a2=0.006$ ;  $p=40$



c)  $D7=12.81\mu\text{m}$ ;  $\theta=1.0^\circ$ ;  $p=40$ ;  $r1=0.985$ ;  $a1=0.006$ ;  $r2=0.930$ ;  $a2=0.006$ ;  $p=40$

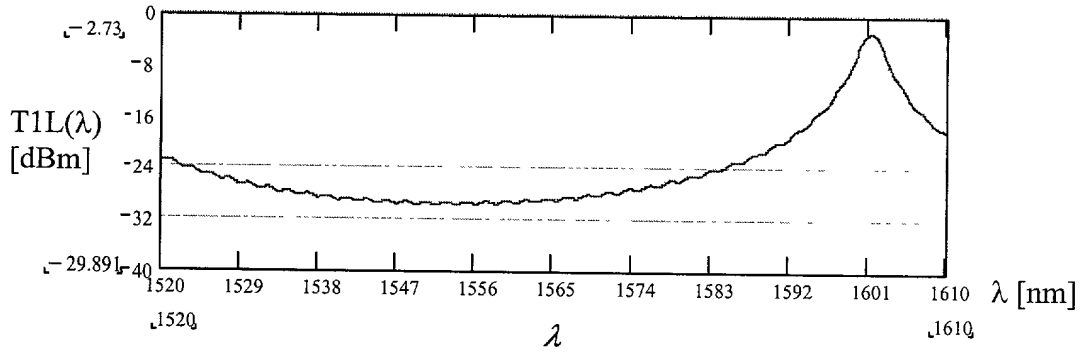
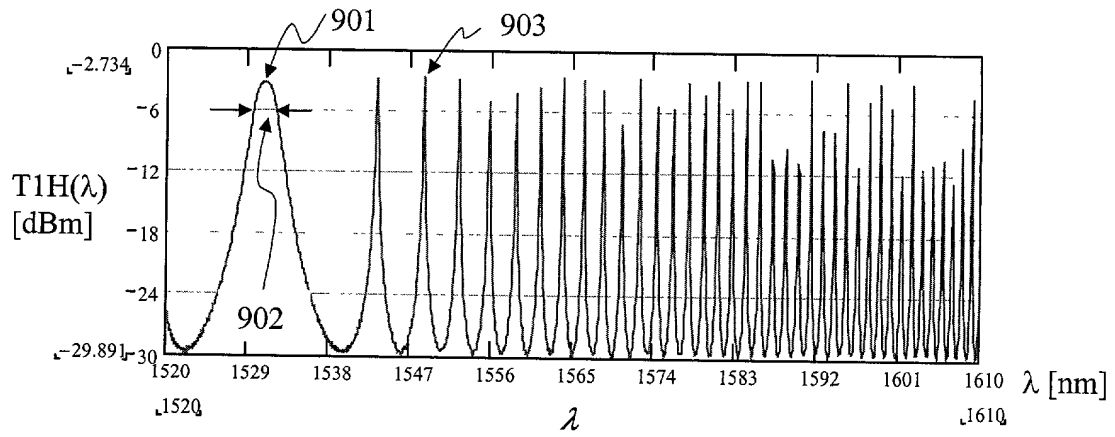
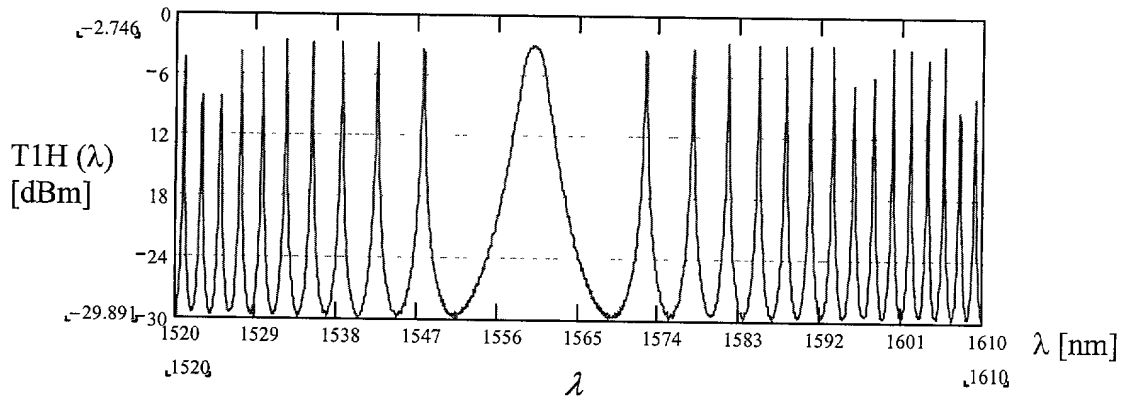


Figure 8

a)  $D8=11.70128\text{mm}$ ;  $\theta=1.0^\circ$ ;  $r1=0.985$ ;  $a1=0.006$ ;  $r2=0.930$ ;  $a2=0.006$ ;  $p=40$



b)  $D9=12.1509\text{mm}$ ;  $\theta=1.0^\circ$ ;  $r1=0.985$ ;  $a1=0.006$ ;  $r2=0.930$ ;  $a2=0.006$ ;  $p=40$



c)  $D10=12.750\text{mm}$ ;  $\theta=1.0^\circ$ ;  $r1=0.985$ ;  $a1=0.006$ ;  $r2=0.93$ ;  $a2=0.006$ ;  $p=40$

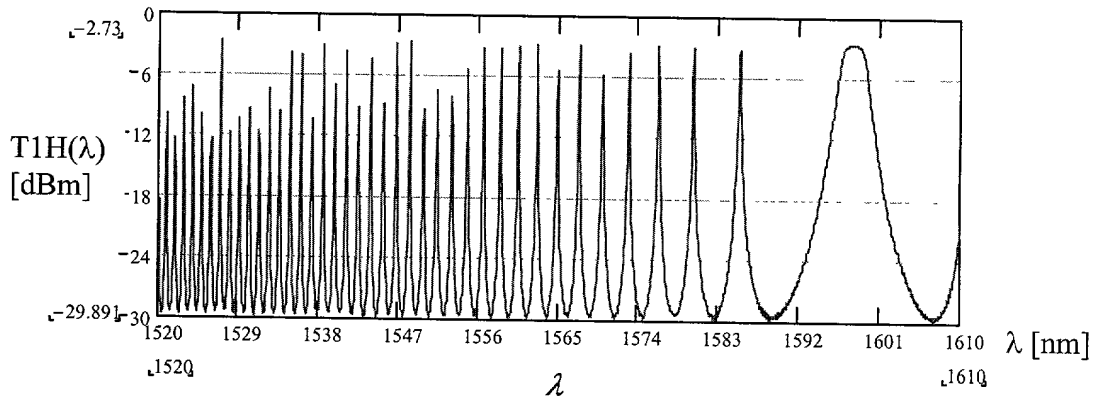
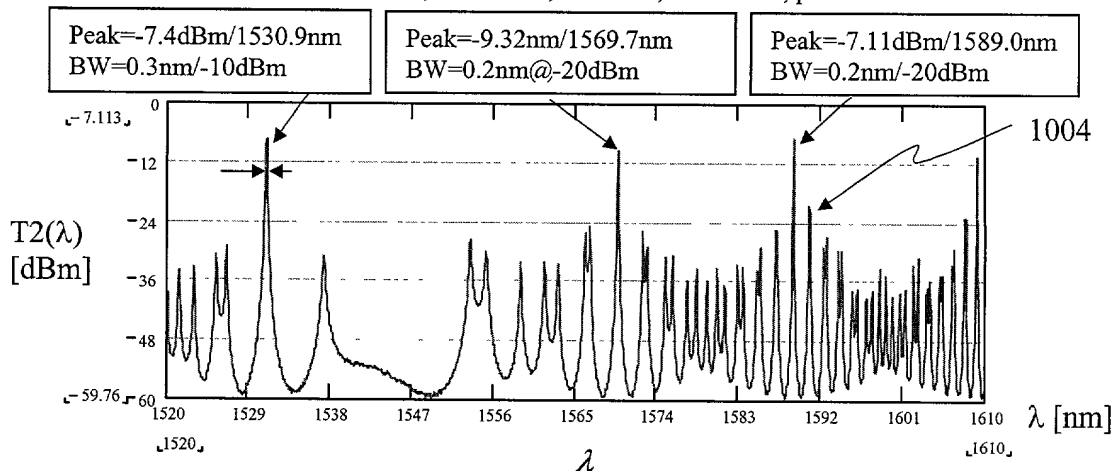
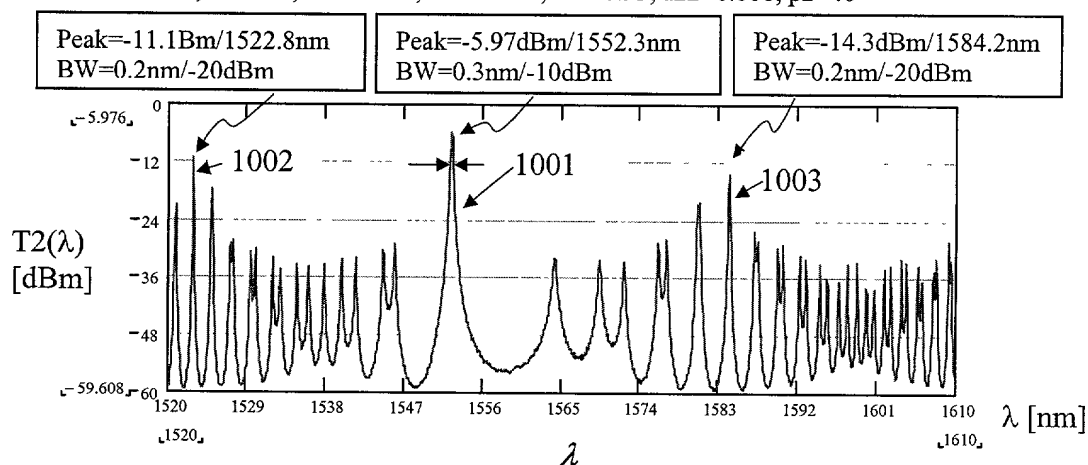


Figure 9

- a)  $D11=11.875\text{mm}$ ;  $\theta1=1.0^\circ$ ;  $r11=0.985$ ;  $a11=0.006$ ;  $r21=0.93$ ;  $a21=0.006$ ;  $p1=40$   
 $D21=11.937\text{mm}$ ;  $\theta2=1.0^\circ$ ;  $r12=0.985$ ;  $a12=0.006$ ;  $r22=0.93$ ;  $a22=0.006$ ;  $p2=40$



- b)  $D12=12.125\text{mm}$ ;  $\theta1=1.0^\circ$ ;  $r11=0.985$ ;  $a11=0.006$ ;  $r21=0.93$ ;  $a21=0.006$ ;  $p1=40$   
 $D22=12.165\text{mm}$ ;  $\theta2=1.0^\circ$ ;  $r12=0.985$ ;  $a12=0.006$ ;  $r22=0.93$ ;  $a22=0.006$ ;  $p2=40$



- c)  $D13=12.125\text{mm}$ ;  $\theta1=1.0^\circ$ ;  $r11=0.985$ ;  $a11=0.006$ ;  $r21=0.93$ ;  $a21=0.006$ ;  $p1=40$   
 $D23=12.165\text{mm}$ ;  $\theta2=1.0^\circ$ ;  $r12=0.985$ ;  $a12=0.006$ ;  $r22=0.93$ ;  $a22=0.006$ ;  $p2=40$

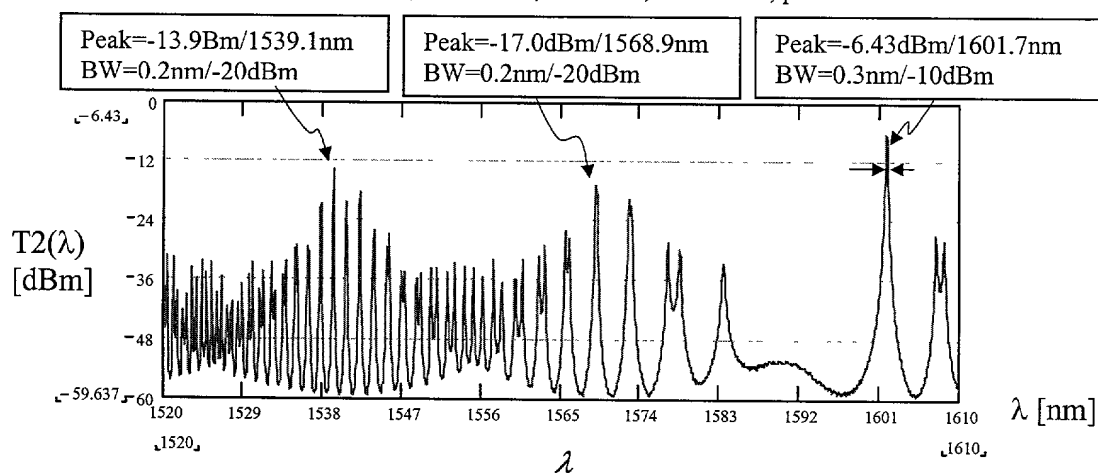
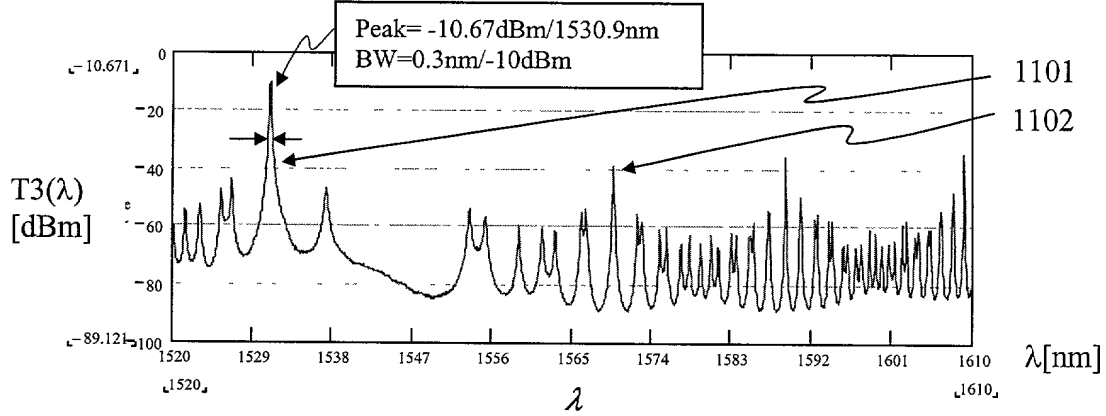
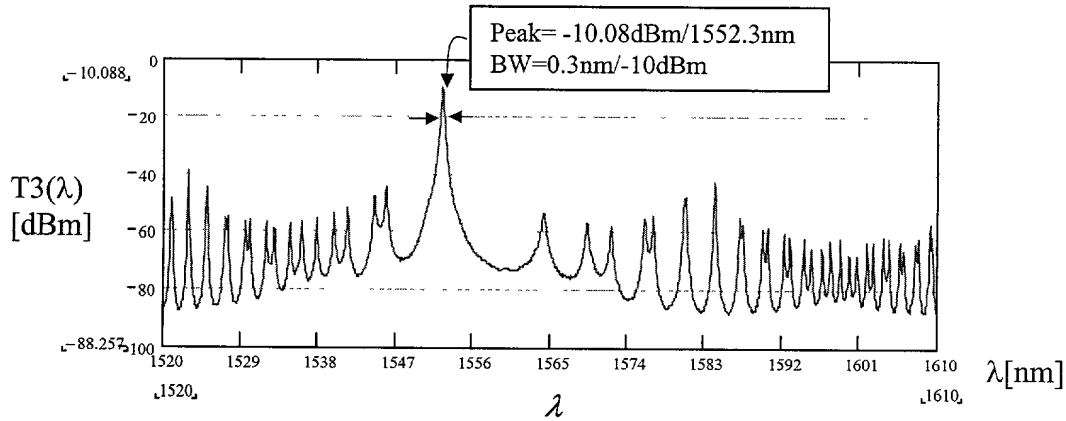


Figure 10

- a)  $D14=11.877\text{mm}$ ;  $\theta_1=1.0^\circ$ ;  $r_{11}=0.985$ ;  $a_{11}=0.006$ ;  $r_{21}=0.93$ ;  $a_{21}=0.006$ ;  $p_1=40$   
 $D24=11.939\text{mm}$ ;  $\theta_2=1.0^\circ$ ;  $r_{12}=0.985$ ;  $a_{12}=0.006$ ;  $r_{22}=0.93$ ;  $a_{22}=0.006$ ;  $p_2=40$   
 $D31=12.120\mu\text{m}$ ;  $\theta_3=1.0^\circ$ ;  $r_{13}=0.985$ ;  $a_{13}=0.006$ ;  $r_{23}=0.93$ ;  $a_{23}=0.006$ ;  $p_3=40$



- b)  $D12=12.123\text{mm}$ ;  $\theta_1=1.0^\circ$ ;  $r_{11}=0.985$ ;  $a_{11}=0.006$ ;  $r_{21}=0.93$ ;  $a_{21}=0.006$ ;  $p_1=40$   
 $D22=12.168\text{mm}$ ;  $\theta_2=1.0^\circ$ ;  $r_{12}=0.985$ ;  $a_{12}=0.006$ ;  $r_{22}=0.93$ ;  $a_{22}=0.006$ ;  $p_2=40$   
 $D32=12.350\mu\text{m}$ ;  $\theta_3=1.0^\circ$ ;  $r_{13}=0.985$ ;  $a_{13}=0.006$ ;  $r_{23}=0.93$ ;  $a_{23}=0.006$ ;  $p_3=40$



- c)  $D13=12.625\text{mm}$ ;  $\theta_1=1.0^\circ$ ;  $r_{11}=0.985$ ;  $a_{11}=0.006$ ;  $r_{21}=0.93$ ;  $a_{21}=0.006$ ;  $p_1=40$   
 $D23=12.665\text{mm}$ ;  $\theta_2=1.0^\circ$ ;  $r_{12}=0.985$ ;  $a_{12}=0.006$ ;  $r_{22}=0.93$ ;  $a_{22}=0.006$ ;  $p_2=40$   
 $D33=12.72\mu\text{m}$ ;  $\theta_3=1.0^\circ$ ;  $r_{13}=0.985$ ;  $a_{13}=0.006$ ;  $r_{23}=0.93$ ;  $a_{23}=0.006$ ;  $p_3=40$

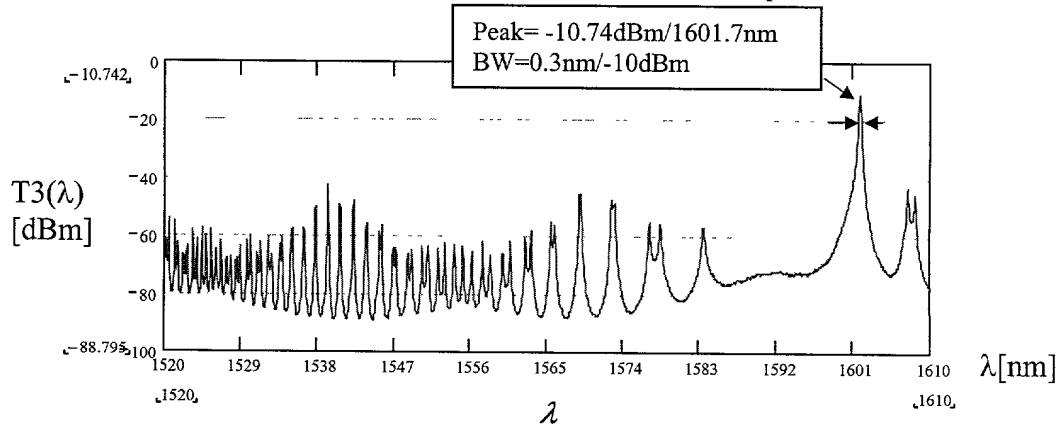


Figure 11

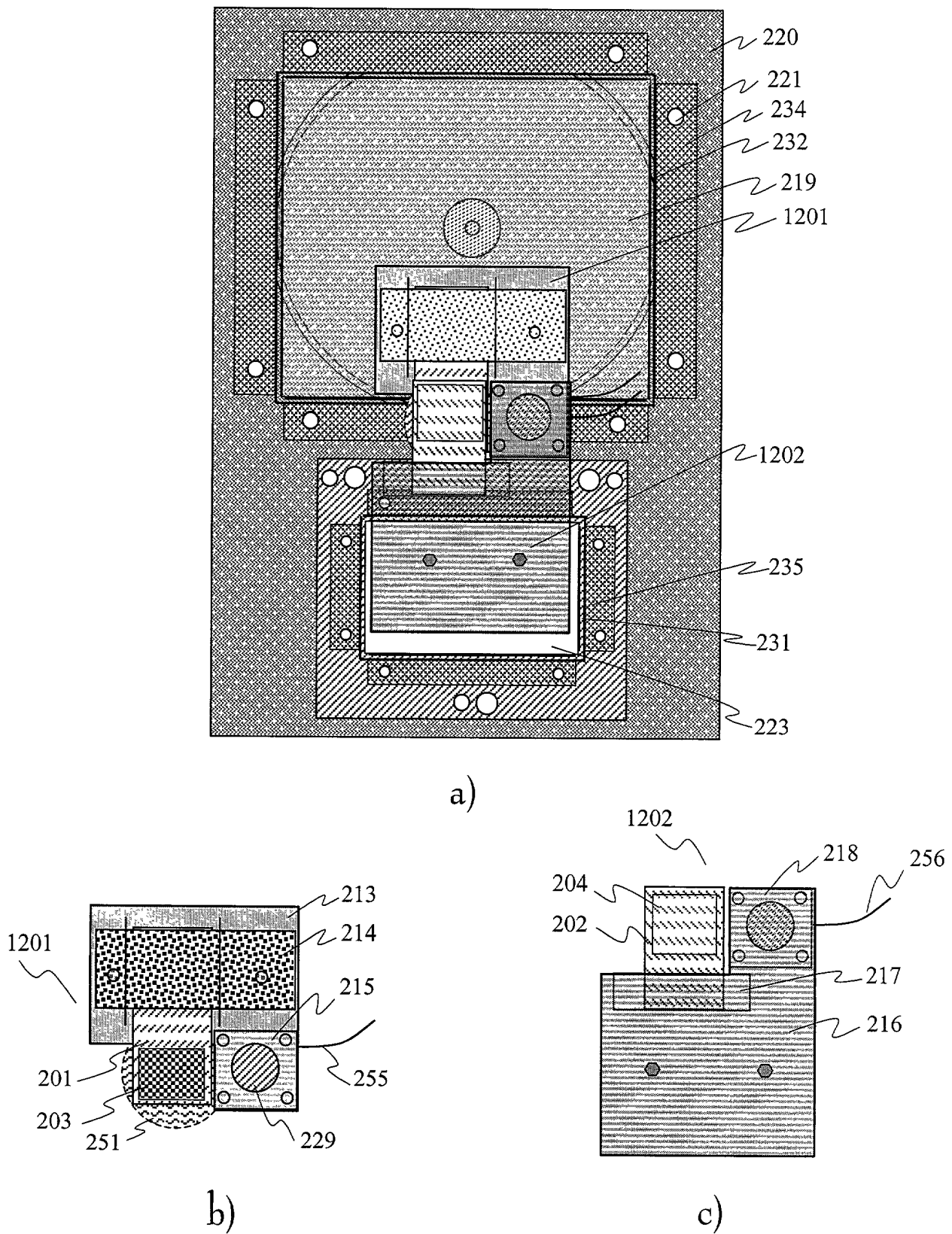


Figure 12

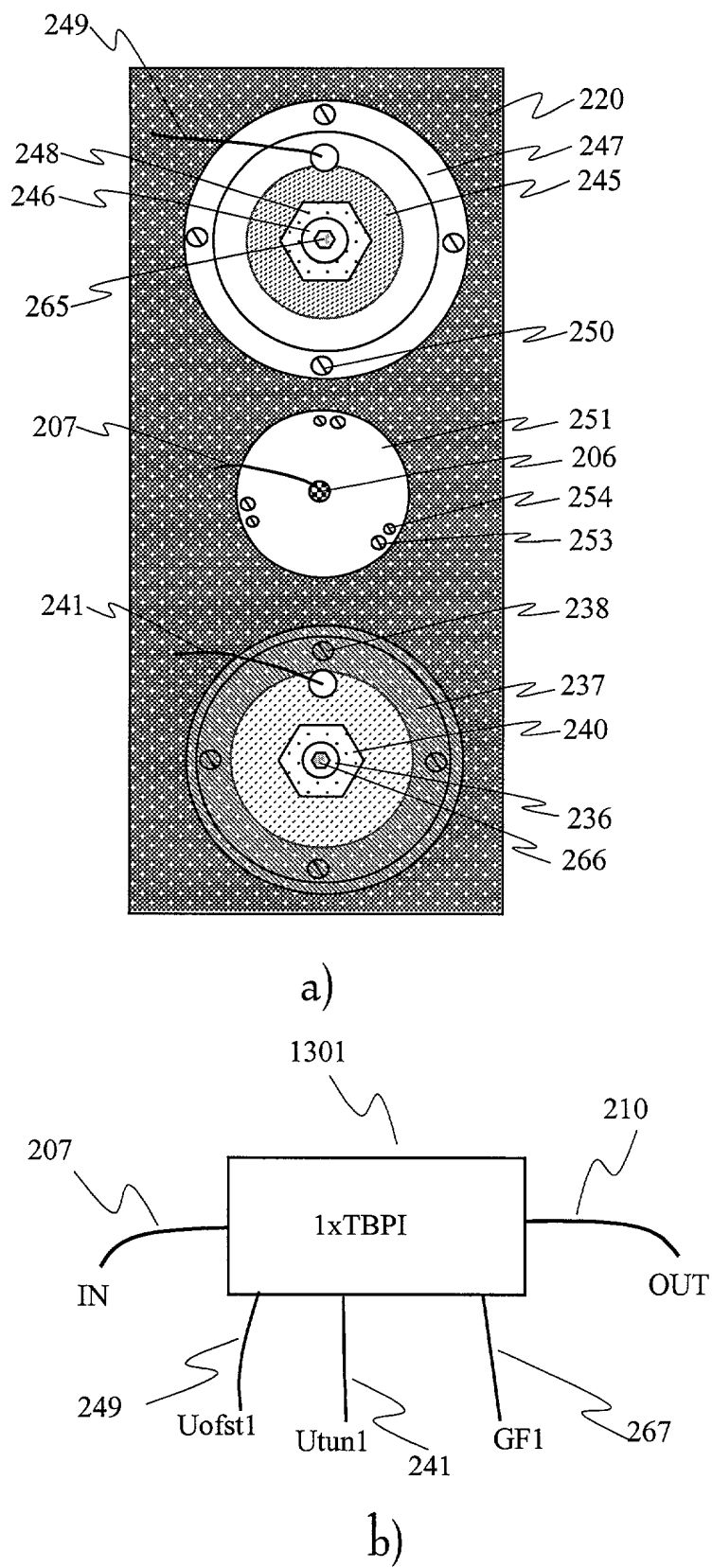


Figure 13

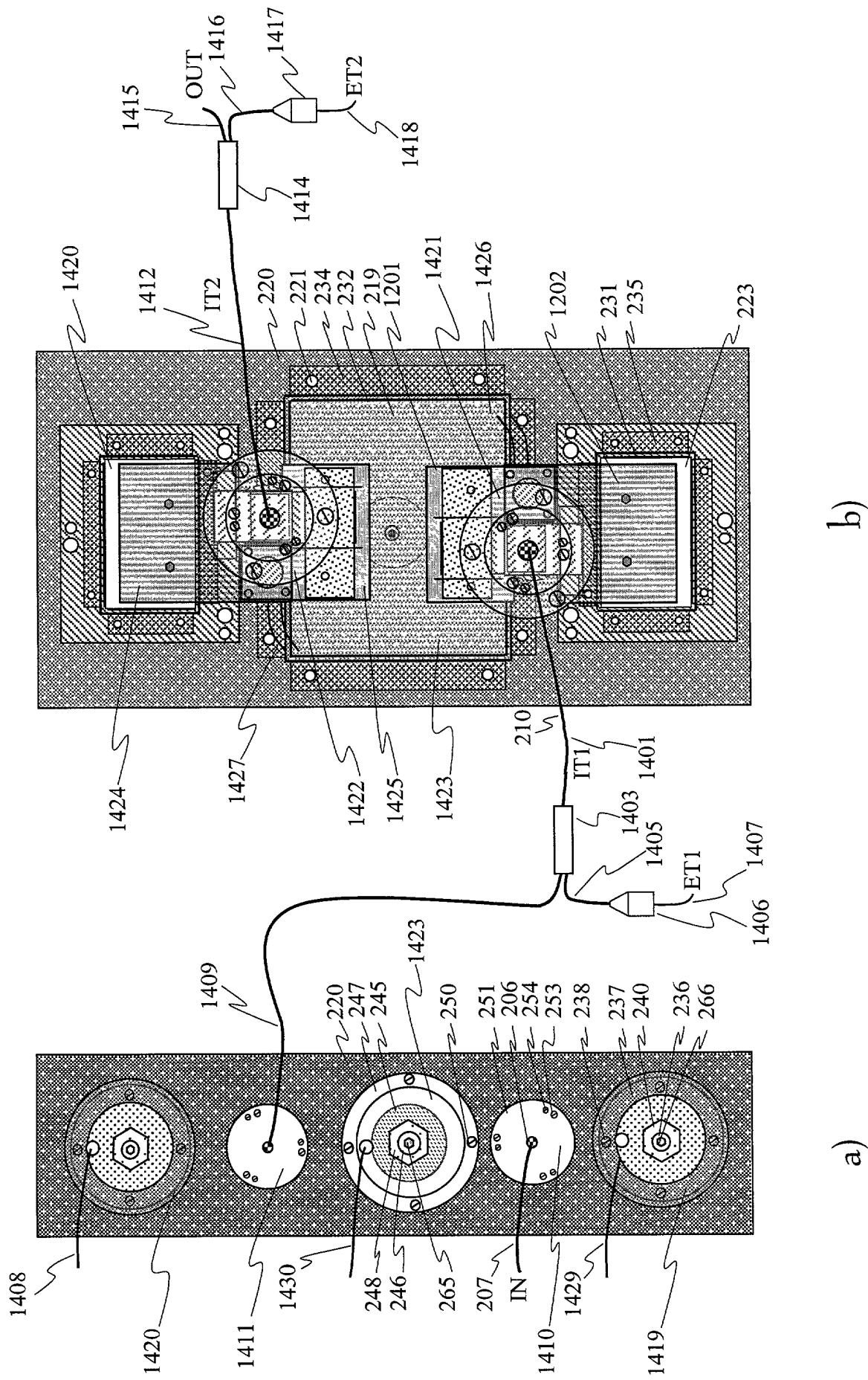


Figure 14

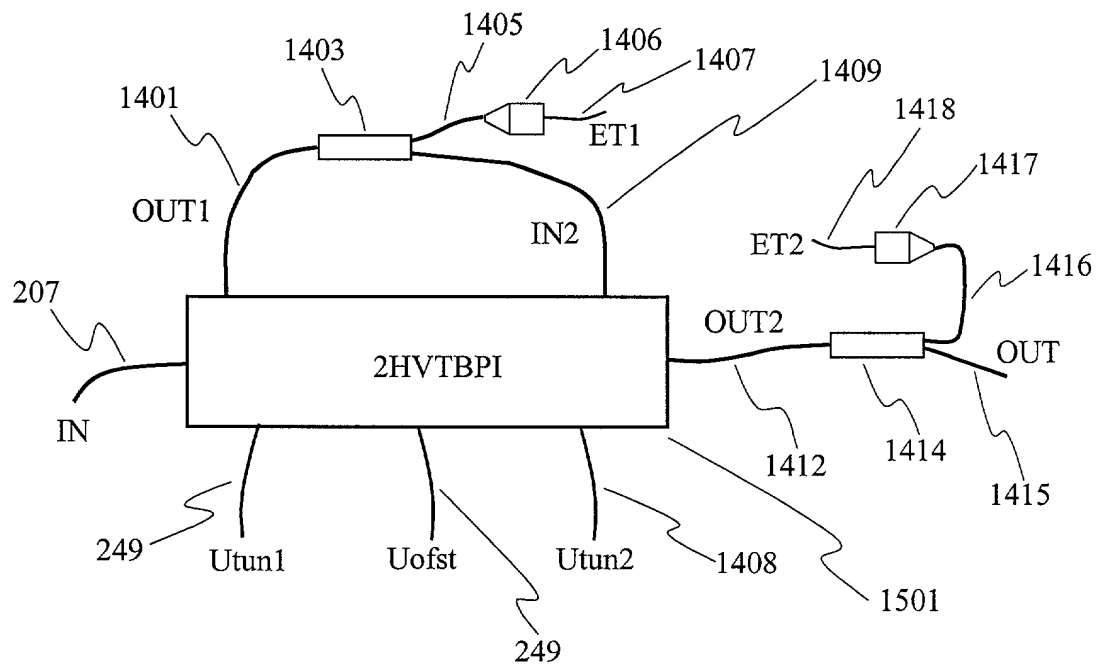


Figure 15

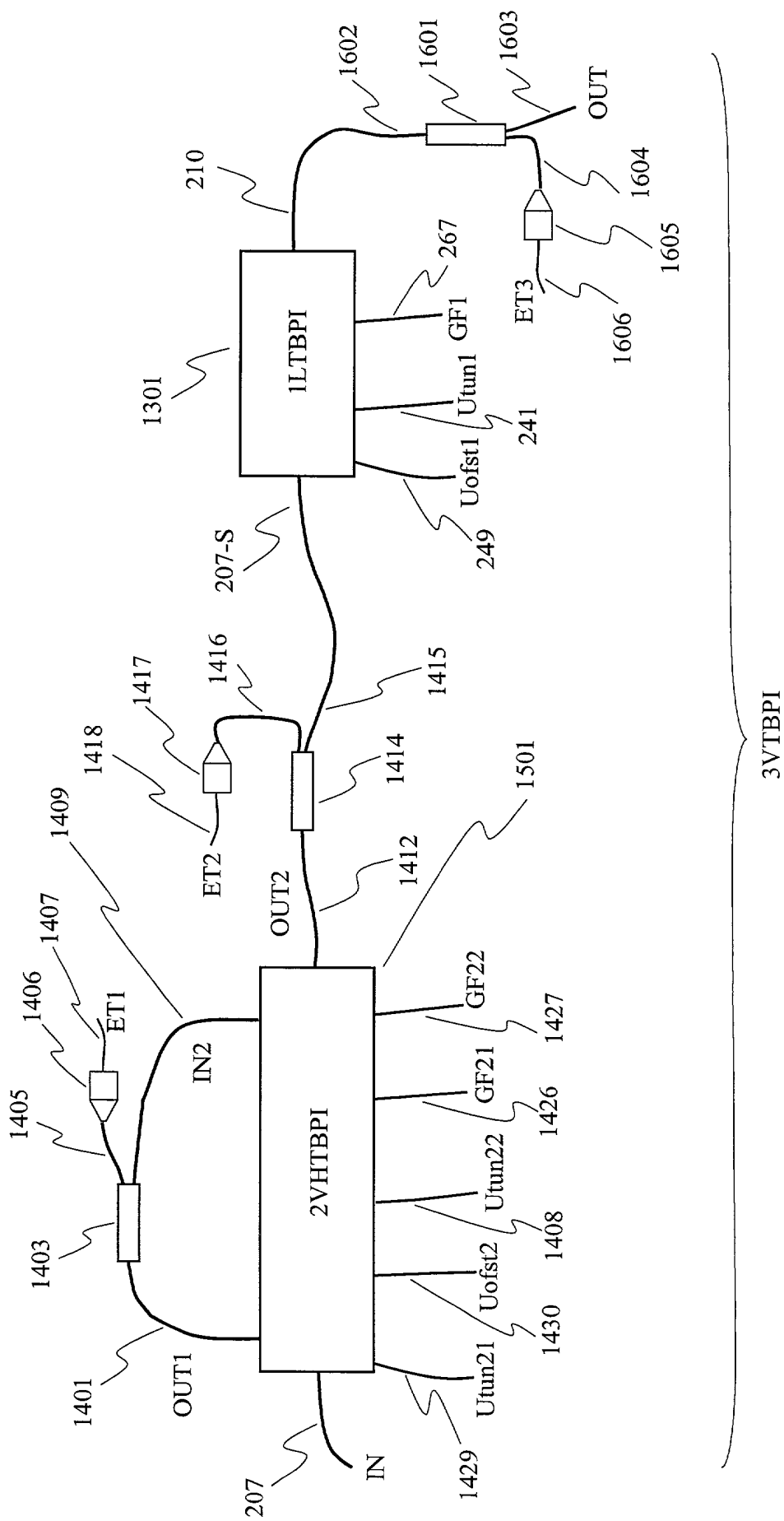


Figure 16

